

神戸大学 正員 松梨順三郎

人工水路および自然河川の合理的設計において、水路の直線部および彎曲部における境界揚流力の分布を予測することは非常に重要である。本研究は一般形状断面をもつ人工水路の彎曲部について、流れの一様解とともに特に境界揚流力の分布特性を理論的に解析することを目標として、その基礎方程式を誘導した。より一般的な断面をもつ人工水路の彎曲部について、彎曲部入口附近の流れの特性に注目し、その数値解をえた。

1. 基礎方程式

一般の彎曲水路では、彎曲部の流れの曲率半径と流れの水深との比/r/hが十分に大きいと考えられ、その場合の定常流れの基礎方程式および連続式は次式で与えられる。

$$\left. \begin{aligned} U_r \frac{\partial U_r}{\partial r} + \frac{U_\theta}{r} \frac{\partial U_r}{\partial \theta} + U_z \frac{\partial U_r}{\partial z} - \frac{U_\theta^2}{r} &= R_o - \frac{1}{f} \frac{\partial p}{\partial r} + \frac{1}{f} \frac{\partial C_{fr}}{\partial z} \\ U_r \frac{\partial U_\theta}{\partial r} + \frac{U_\theta}{r} \frac{\partial U_\theta}{\partial \theta} + U_z \frac{\partial U_\theta}{\partial z} + \frac{U_r U_\theta}{r} &= \theta_o - \frac{1}{f} \frac{\partial p}{\partial \theta} + \frac{1}{f} \frac{\partial C_{fr}}{\partial z} \\ \theta &= Z_o - \frac{1}{f} \frac{\partial p}{\partial z} \end{aligned} \right\} \quad (1)$$

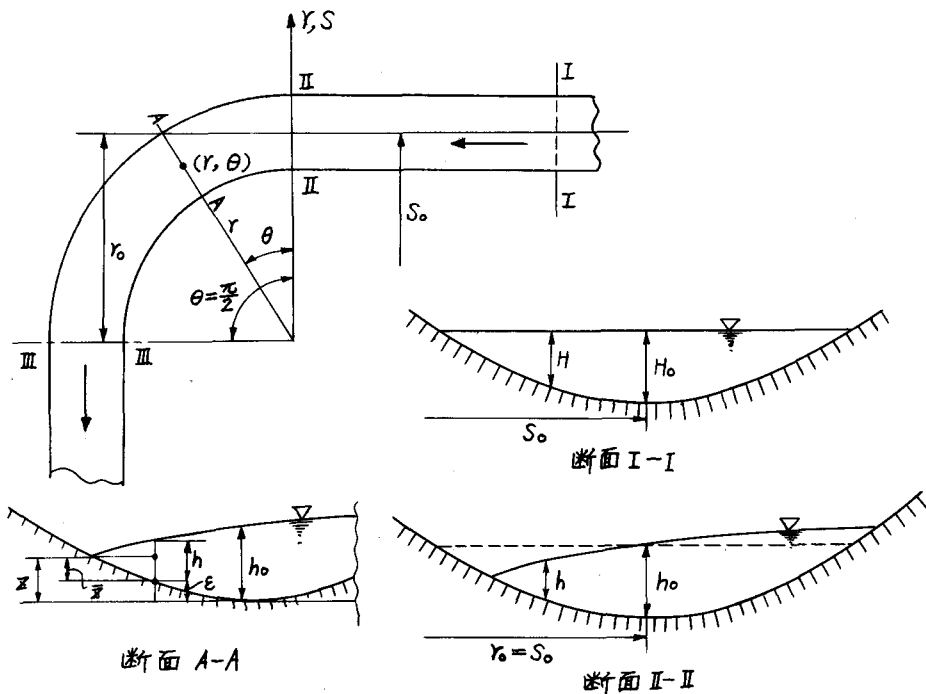


図-1 一般説明図

$$\frac{\partial U_r}{\partial r} + \frac{U_r}{r} + \frac{\partial U_\theta}{r \partial \theta} + \frac{\partial U_z}{\partial z} = 0 \quad (2)$$

$z=1$, $R_o = -g \sin \alpha \cos \theta$, $\theta_o = g \sin \alpha \sin \theta$, $Z_o = -g \cos \alpha z'$, 這是はすべて慣用式を用いた。
(図-1参照) ここで α は座標面 $z=0$ が水平面となす角である。

座標面より水深 z までの高さを ε とし、(1)の第3式と積分すると次式となる。

$$P = \rho g (h + \varepsilon - z) \cos \alpha \quad (3)$$

(1)の第1, 第2式および(2)式 $'$ は P_o , θ_o , Z_o および(3)式と代入して、 ε は $h + \varepsilon$ まで積分すれば ε が z' であるが、 $\bar{z} = z - \varepsilon$ と変数変換すれば $=$ はよりそれと等しい式となる。

$$\left. \begin{aligned} & \frac{1}{r} \frac{\partial}{\partial r} \left(r \int_0^h U_r^2 d\bar{z} \right) + \frac{1}{r} \frac{\partial}{\partial \theta} \left(U_\theta U_r d\bar{z} \right) - \frac{1}{r} \int_0^h U_r^2 d\bar{z} = -gh \left(\sin \alpha \cos \theta + \frac{\partial (h+\varepsilon)}{\partial r} \cos \alpha \right) - \frac{1}{\rho} Z_o \\ & \frac{1}{r^2} \frac{\partial}{\partial r} \left(r^2 \int_0^h U_\theta U_r d\bar{z} \right) + \frac{1}{r} \frac{\partial}{\partial \theta} \left(U_\theta^2 d\bar{z} \right) = gh \left(\sin \alpha \sin \theta - \frac{\partial h}{\partial \theta} \cos \alpha \right) - \frac{1}{\rho} Z_o \end{aligned} \right\} \quad (4)$$

$$\frac{\partial}{\partial \theta} \left(\int_0^h U_\theta d\bar{z} \right) + \frac{\partial}{\partial r} \left(r \int_0^h U_r d\bar{z} \right) = 0 \quad (5)$$

$z=1 = Z_o$, Z_o はそれを座標面上におけると方向および右方向の剪断応力である。

つまらない、 $S = r \cos \theta \sin \alpha$ を導入し、 $=$ は I はよって定義されると二つの諸量、

$$\left. \begin{aligned} J_{ro} &= -\frac{1}{\cos \alpha} \frac{\partial S}{\partial r}, & J_{\theta o} &= -\frac{1}{\cos \alpha} \frac{\partial S}{r \partial \theta} \\ I_r &= J_{ro} - \frac{\partial (h+\varepsilon)}{\partial r}, & I_\theta &= J_{\theta o} - \frac{\partial h}{\partial \theta} \end{aligned} \right\} \quad (6)$$

を導入すると、 J_{ro} , $J_{\theta o}$ はそれを座標面のと方向および右方向の勾配を表し、 I_r , I_θ はそれを水表面のと方向および右方向への勾配を表す。(4)式 $'$ は(6)の関係を代入して、新変数 $\bar{z} = \bar{z}/h$ を導入すると、(4)および(5)式は次のようになる。

$$\left. \begin{aligned} & \frac{\partial}{\partial r} \left(rh \int_0^1 U_r^2 d\bar{z} \right) + \frac{\partial}{\partial \theta} \left(h \int_0^1 U_\theta U_r d\bar{z} \right) - h \int_0^1 U_r^2 d\bar{z} = gh I_r r \cos \alpha - \frac{r Z_o}{\rho} \\ & \frac{1}{r} \frac{\partial}{\partial r} \left(r^2 h \int_0^1 U_\theta U_r d\bar{z} \right) + \frac{\partial}{\partial \theta} \left(h \int_0^1 U_\theta^2 d\bar{z} \right) = gh I_\theta r \cos \alpha - \frac{r Z_o}{\rho} \\ & \frac{\partial}{\partial \theta} \left(h \int_0^1 U_\theta d\bar{z} \right) + \frac{\partial}{\partial r} \left(rh \int_0^1 U_r d\bar{z} \right) = 0 \end{aligned} \right\} \quad (7)$$

式(7)および(8)は以後の解析の基本となる基礎方程式である。

2. 弯曲部入口附近の流れの特性

一般に流れが直線部から弯曲部にはりこと、遠心力の作用をうけて、水面は主流方向の勾配同時に、それが直角方向またはより方向にそそぐ勾配をもつようになる。図-1はその概要を示す。断面IおよびIIはそれを弯曲部の入口および出口の断面を表す。従来の実験結果によると、水面の右方向勾配は水面の弯曲部のものより、それが直上流部分および直下流部分にとあるから。これは遠心力の効果がその部分に及ぶことと考へてよい。このことから一般的には断面Iの水面形は断面II

のそれの影響を受けると考えられよ。しかし、 $=2$ は断面Iは断面IIから十分はそれを上流断面で断面IIの水面の影響をうけないものとする。本研究では断面IIの水理特性を境界条件として用い、断面I、II間、すなわち弯曲部分の流れの解析を目標としているが、本報告では、まつ断面IIの水理特性を得るところからはじめることにする。断面IIおよびその直上流では前述のように、遷移力の効果を評価しなければならない。このよう考慮から断面IIの流れの特性を規定する運動方程式として次式を得た。

$$\frac{\partial}{\partial S} (h + \varepsilon) = \frac{d_0 V_{0m}^2}{g S} \quad | \quad (9)$$

$$\frac{V_{0m}}{V_{0x}} = 6.0 + \frac{1}{K} \log \frac{h}{K}$$

$$h V_{0m} = H V_{0m} = \bar{z}. \quad (10)$$

これら(9)式および(10)式はそれを(7)式および(8)式の特別の場合として位置づけられる。 $=1=S$ は図-1に示すように、直線已向断面I-IIの主流方向に直角にとされた距離を表すし、 V_{0m} 、 V_{0x} 、 h は $S=S$ における平均流速、摩擦係数、水深であり、 H 、 V_{0m} は断面Iにおける水深、平均流速であり、 \bar{z} は単位幅流量である。 d_0 は係数、 K はクルマン常数、 K は底面粗度である。

放物断面水路を $\varepsilon = d_0(S-S_0)^2$ によって定義し、 $V_{0m} = \sqrt{gH} \{ 6.0 + (1/K) \log H/K \}$ 、 $(h)_{S=S_0} = h_0 = H_0$ として、(9)の第1式および(10)式より V_{0m} 、 \bar{z} を消去し、さらには座標変換 $\xi = (S-S_0)/S_0$ を行ふと次式を得る。

$$h \left(\frac{\partial h}{\partial \xi} + \frac{\partial \varepsilon}{\partial \xi} \right) - \frac{d_0 J_{00} (H_0 - d_0 S_0^2 \xi^2)^3}{(\xi+1)} \{ 6.0 + \frac{1}{K} \log \frac{H_0 - d_0 S_0^2 \xi^2}{K} \}^2 = 0 \quad (11)$$

未定係数法によつて(11)式の級数解を求め次の式を得る。

$$h = \sum_{m=0}^{\infty} b_m \xi^m \quad (12)$$

$=1=S$,

$$b_0 = h_0 = H_0,$$

$$b_1 = \frac{1}{b_0^2} (B_0 - A_0 b_0)^2,$$

$$b_2 = \frac{1}{2b_0^3} \{ B_1 - (b_1 + A_0) \cdot$$

$$(b_0 b_1 + b_1 b_0) - A_1 b_0^2 \},$$

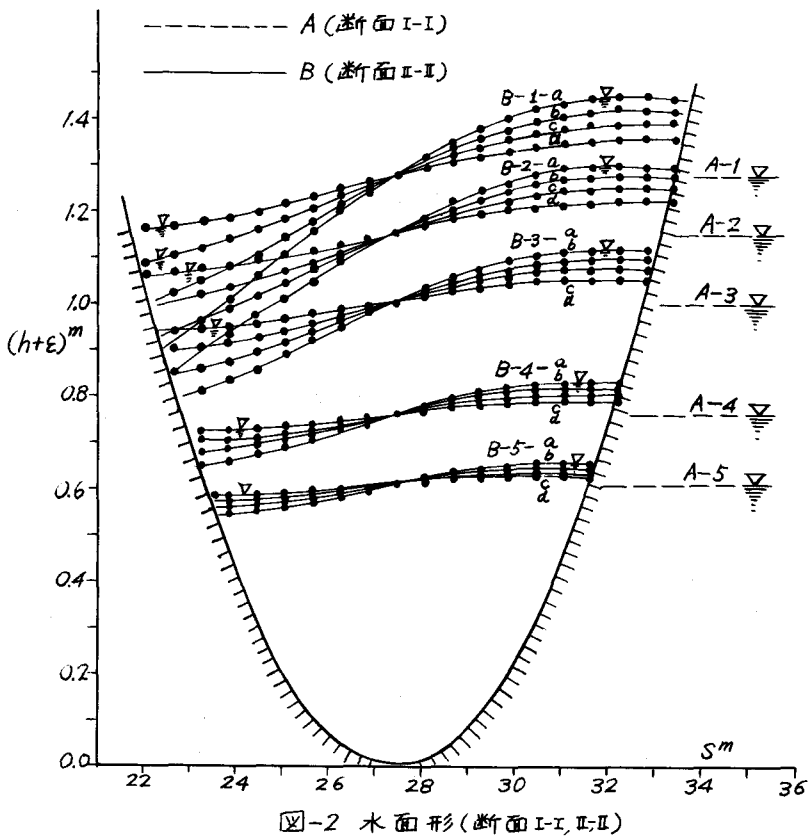
$$b_3 = \frac{1}{3b_0^4} \{ B_2 - (b_2 + A_1) \cdot$$

$$(b_0 b_2 + b_1 b_1 + b_2 b_0) - (2b_1 + A_1) \cdot$$

$$(b_0 b_1 + b_1 b_0) - A_2 b_0^2, \dots$$

$$A_0 = 0, A_1 = 2A_0 S_0^2,$$

$$A_2 = A_3 = A_4 = \dots = 0$$



$$B_0 = \alpha_0 J_{00} \varphi(0), \quad B_1 = \frac{d_0 J_{00}}{1!} \varphi^{(1)}(0), \quad B_2 = \frac{d_0 J_{00}}{2!} \varphi^{(2)}(0), \quad B_3 = \frac{d_0 J_{00}}{3!} \varphi^{(3)}(0), \quad \dots$$

$$\varphi(0) = g(0) f(0)^2, \quad \varphi^{(1)}(0) = g^{(1)}(0) f(0)^2 + g(0) \{ f^{(1)}(0) f(0) + f(0) f^{(1)}(0) \}, \quad \varphi^{(2)}(0) = g^{(2)}(0) f(0)^2 + 2g^{(1)}(0) \{ f^{(1)}(0) f(0) + f(0) f^{(1)}(0) \}, \quad \dots$$

$$g(0) = H_0^3, \quad g^{(1)}(0) = -g(0), \quad g^{(2)}(0) = -g^{(1)}(0) + g(0) + 3(-2\alpha_0 S_0^2) H_0^2, \quad g^{(3)}(0) = -g^{(2)}(0) + g^{(1)}(0) - 2g(0) - 6(-2\alpha_0 S_0^2) H_0^2, \quad \dots$$

$$f(0) = 6.0 + \frac{1}{K} \log \frac{H_0}{K}$$

$$f^{(1)}(0) = 0, \quad f^{(2)}(0) = -\frac{2\alpha_0 S_0^2}{K} H_0,$$

$$f^{(3)}(0) = 0, \quad f^{(4)}(0) = -2K f^{(2)}(0)^2$$

$$-\frac{f^{(3)}(0)}{H_0}, \quad (13)$$

(13)式の関係を(12)式に代入する
 と、断面II-IIの水深がえられ、
 つきに(1)式より U_{0m} , (9)式の第
 2式より J_{00} がえられる。計算例
 として、 $\alpha_0 = 1, a_0 = 1, S_0 =$
 $27.45m, K = 0.4, K = 0.127m$ を
 用いて。
 図-2~4 は $H_0 = 1.281m$
 $A-1, B-1), 1.159m(A-2, B-2), 1.00$
 $7m(A-3, B-3), 0.763m(A-4, B-4),$
 $0.610m(A-5, B-5)$ のそれぞれ $a_1 = 1$
 $(2, J_{00} = 0.01(-a), 0.008(-b),$
 $0.006(-c), 0.004(-d))$ とした場合
 の断面I-I (A), 断面II-II (B) に
 おける水位 ($h + \varepsilon$)^m, 排流力 Kg/m^2 , 平均流速 $U_{0m} m/s$ の分布
 を示す。まづ図-2について、 H_0
 が大きほど両岸の水位差が大
 きくなり、また同じ H_0 に対して
 J_{00} が大きくなるほど両岸の水位
 差が大きくなることがわかる。図
 -3 によると、 J_{00} のいすれの場合
 でもの分布は凹岸より凸岸にかたる。
 J_{00} が大きほどこの傾向はいちじるしくなる。

二の研究の結果計算によつては兵
 庫県芦屋市早生氏にF3 = とか
 より、 $\varepsilon = 1$ 深さの半分を表わす。

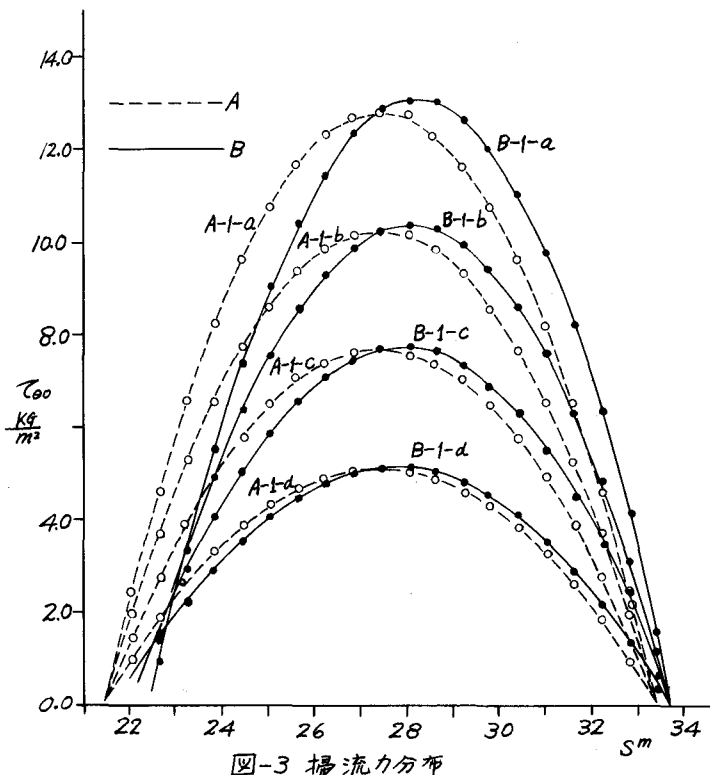


図-3 掘流力分布

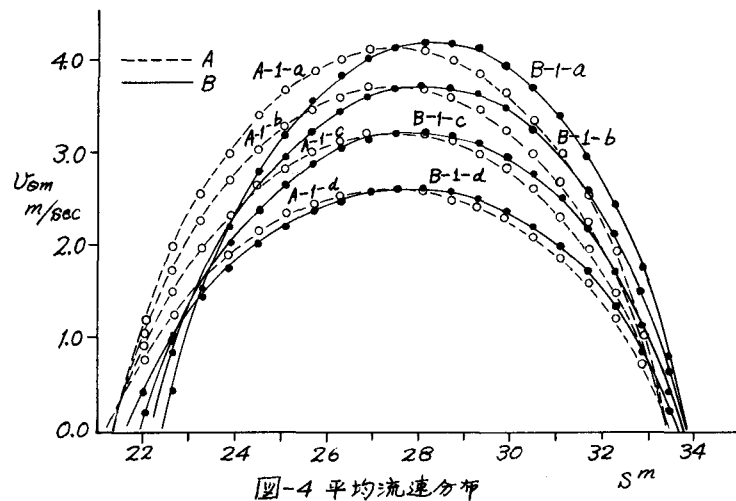


図-4 平均流速分布